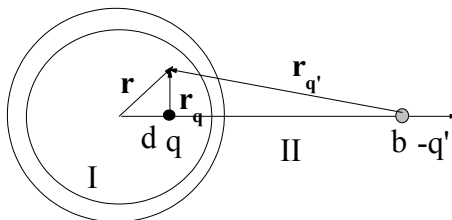


第十讲

上节课:

- 唯一性定理 - 给定静电问题后, 边条唯一确定解的形式 (前提: D 与 E 的关系为单调)
- 镜像法 - 利用虚拟电荷代替界面处的面电荷, 使得试解满足边条; 唯一性定理保证解的正确性



$$\text{球壳内放置一个点电荷: I 区的电势, } \varphi_I = \frac{1}{4\pi\epsilon_0} \left[\frac{q}{r_d} - \frac{q'}{r_b} \right] + V_0$$

其满足所有的边界条件同时满足 Poisson 方程, 故唯一性定理保证其正确性。下面考虑 II 区中的电势。这个区域内无源, 电势应当是某些处于其它区域的像电荷产生, 考虑修好后的边条 (1): $\varphi_I = \varphi_{II} = V_0$, $r = R$, 显然“像电荷”为处于原点 (I 区) 的电量为 $4\pi\epsilon_0 V_0 R$ 的点电荷。因此, II 区电势:

$$\varphi_{II} = \frac{V_0 R}{r} \quad (4.3.23)$$

(4.3.22) - (4.3.23) 就是问题的解, 满足所有的方程以及边条。问题虽然得解, 但物理图像不清楚: **比如此时导体球壳上带电荷为多少? 为什么 I 区的电场与外部条件无关? 为什么 II 区的电场与 I 区中的电荷放置也毫无关系?** 要搞清楚这些问题, 必须意识到事实上导体球壳不是无限薄的, 而是一个具有有限厚度 (尽管很薄) 的一个金属壳层, 其具有内外两个界面。静电平衡时电荷分布在两个界面上, 球壳内部的电荷密度为 0。内表面上的电荷密度可以由

$$\sigma_{in} = \epsilon_0 \vec{n} \cdot \vec{E}_{in} \Big|_{r=R} = \epsilon_0 \frac{\partial \varphi_I}{\partial r} = \frac{-q}{4\pi R^2} \frac{1 - (d/R)^2}{(1 + (d/R)^2 - 2(d/R)\cos\theta)^{3/2}} = \frac{-q}{4\pi R^2} \tilde{F}(\theta) \quad (4.3.22)$$

求出, 其总电荷可以由上式积分求出。但更容易地, 可由 Gauss 定理求出:

$$0 = \oint \vec{E} \cdot d\vec{S} = q_{in} + q \Rightarrow q_{in} = -q \quad (4.3.23)$$

其中, (4.3.23) 中的积分面取在导体球壳两个界面包裹的中间区域。外表面上电荷均匀分布, 总电量为

$$q_{out} = \oint \sigma_{out} \cdot dS = 4\pi\epsilon_0 R V_0 \quad (4.3.24)$$

因此物理图像是：

(1) 球内的电荷在球壳内表面感应出等量异号的电荷即达到平衡，再外加任何电荷都不会跑到内表面而只会呆在外表面。

(2) 这些均匀分布在外表面的电荷起的作用不过是改变整个球壳的电势，但对内电场没有丝毫影响。

(3) σ_{in} 对应于 II 区处于 b 处的“像电荷”（但与之前的镜像法例题不同，此处感应电荷总量不等于虚拟感应电荷！），而 σ_{out} 对应于贡献 $\varphi = V_0$ 的像电荷（对应于一个球对称的势的“像电荷”也应当对称分布）。因为内部金属薄层的存在，球壳的两个界面变成完全独立的，因此其外两个世界也完全隔绝！

***** 镜像法的拓展 *****

由以上讨论可以得知，镜像法特别适用于存在“边界面电荷”以及这些面点荷呈现一定对称分布的情况——因为如若不然，则非常难以使用有限数目的镜像电荷来替代真实电荷。除了以上金属表面，其实均匀电介质表面也具有上述特征。在均匀介质内部，极化电荷只存在于与自由源电荷 $\rho_f(\vec{r})$ 不为 0 的地方，在没有自由源电荷的地方是没有极化电荷的。证明如下：

极化电荷密度由 $\rho_p = -\nabla \cdot \vec{P}$ 给出。在均匀介质体内， $\vec{P} = \epsilon_0 \chi \vec{E}$ ，因此， $\rho_p = -\epsilon_0 \chi \nabla \cdot \vec{E}$ 。而另一方面，我们有 $\nabla \cdot \vec{D} = \rho_f$ ，同时，在均匀介质体内有 $\vec{D} = \epsilon \vec{E}$ ，故有 $\nabla \cdot \vec{E} = \rho_f / \epsilon$ 。因此，最终我们得到

$$\rho_p = \nabla \cdot \vec{E} = -\frac{\epsilon_0 \chi}{\epsilon} \rho_f$$

因此，在均匀介质体内，无论其形状，无论 $\rho_f(\vec{r})$ 如何分布， ρ_p 紧紧依附于 $\rho_f(\vec{r})$ 的存在而存在，没有 $\rho_f(\vec{r})$ 的地方就没有 ρ_p ！但这个结论在介质非均匀的时候不再成立，因此，在两个均匀介质的分界面上，或者非均匀介质体内，都有可能脱离 $\rho_f(\vec{r})$ 而存在极化电荷！

因此，镜像法的精神完全可以拓展到边界为两个均匀介质表面的问题。此时，极化电荷呈现面分布，与金属中的表面电荷类似。这是与金属的区别有 2：

- 1) 介质分界面上的边条是两个，而不是一个
- 2) 介质中的电势分布不为 0.

多了个条件，但也多了个未知量，因此问题仍然可以通过镜像法求解！

§ 4.4 本征函数展开法

之前介绍的镜像法虽然看上去很精致，但镜像电荷的设置非常依赖于物理直觉和经验，因此该方法并不是一个一般普适的方法。本节将介绍一种求解静电问题电势分布的普适方法，这种方法可以推广到求解其他许多类似的问题（如电磁波的散射）。很多情况下，我们求解的空间中无源，但体系处在某一种外场的作用下，这种外场通常通过边界条件反映出来。此时求解空间中电势满足无源的拉普拉斯方程：

$$\nabla^2 \varphi = 0, \quad (4.4.1)$$

而电势在边界处（比如无限远处）满足特定的边界条件：

$$\varphi|_{\text{boundary}} = \varphi_0(\xi) \quad (4.4.2)$$

其中 ξ 是界面上的位置变量。

针对由 (4.4.1) - (4.4.2) 定义的物理问题，我们可以根据问题的边界形状及空间的对称性选取适当的坐标系，用分离变量法求解拉普拉斯方程 (4.4.1) 式的通解。假设我们得到了这组解 $\{\varphi_n, n=1,2,\dots\}$ ，它们通常是正交完备的：

$\langle \varphi_n \varphi_m \rangle = \delta_{n,m}$ ，其中内积 $\langle \varphi_n \varphi_m \rangle$ 如何定义需根据问题本身确定。根据完备性，我们

一定可以将我们试图求解的 φ 展开成这组本征态的线性叠加：

$$\varphi = \sum C_n \varphi_n. \quad (4.4.3)$$

(4.4.2) 一定是 (4.4.1) 的解，但不一定满足边界条件 (4.4.2)。必须根据边界条件及本征函数的正交性来确定展开系数 C_n ：

$$C_n = \langle \varphi_n | \varphi_0 \rangle = \int \varphi_n(\xi) \varphi_0(\xi) d\xi \quad (4.4.4)$$

这样当我们将 $\{C_n\}$ 全部唯一确定下来之后，整个问题得解。*很多情况下，我们并不需要真正利用到 (4.4.4) 式求 $\{C_n\}$ ，而是通过比对 $\varphi_0(\xi)$ 中包含的相关本征波函数 $\varphi_n(\xi)$ 的系数来确定 C_n 。这样做的逻辑基础是不同本征波函数之间正交，它们之间相互独立。*

下面总结一下不同坐标系下的本征函数及它们的正交性。在解决实际问题时，我们应当根据其对称性选择合适的通解形式进行求解。

(1) 轴对称的球坐标系问题（与变量 ϕ 无关）

对此类问题，Laplace 方程的本征解为 $r^l P_l(\cos \theta)$, $r^{-(l+1)} P_l(\cos \theta)$ 。因此通解可以一般写成：

$$\varphi = \sum_{l=0}^{\infty} [A_l r^l + B_l r^{-(l+1)}] P_l(\cos \theta) \quad (4.4.5)$$

径向波函数 r^l 在 $r=0$ 处收敛， $r^{-(l+1)}$ 在 $r \rightarrow \infty$ 时收敛。 $P_l(x)$ 为 Legendre 多项式，低阶的几项为

$$\begin{cases} P_0(x) = 1 \\ P_1(x) = x \\ P_2(x) = \frac{1}{2}(3x^2 - 1) \\ \dots \end{cases} \quad (4.4.6)$$

本征函数之间满足如下正交关系

$$\int P_l(\cos \theta) P_{l'}(\cos \theta) d \cos \theta = \frac{2}{2l+1} \delta_{l,l'} \quad (4.4.7)$$

Tips: 如何求解球坐标下 Laplace 方程的通解？注意到 Laplace 方程在球坐标下可以写成

$$\nabla^2 \varphi = \frac{1}{r^2} \frac{\partial}{\partial r} (r^2 \frac{\partial}{\partial r} \varphi) + \frac{1}{r^2 \sin \theta} \frac{\partial}{\partial \theta} (\sin \theta \frac{\partial}{\partial \theta} \varphi) + \frac{1}{r^2 \sin^2 \theta} \frac{\partial^2}{\partial \phi^2} \varphi = 0$$

利用分离变量法，将势函数写成 $\varphi(r, \theta, \phi) = U(r)V(\theta)W(\phi)$ 带入方程分别求解，可得，

$W \sim e^{im\phi}$, $V \sim P_l^m(\cos \theta)$, $U \sim (r^l, r^{-(l+1)})$ 。考虑体系具有旋转对称性，因此 $m=0$ ，进一步

$P_l^m \rightarrow P_l$ 。

(2) 与 z 无关的柱对称问题

对此类问题，Laplace 方程的本征解为 $\rho^{\pm n}(\sin(n\phi), \cos(n\phi))$, $\ln(\rho)$, 1。因此其通解为

$$\varphi = A_0 + B_0 \ln \rho + \sum_{n=1}^{\infty} (A_n \rho^n + B_n \rho^{-n}) \cos(n\phi) + \sum_{n=1}^{\infty} (C_n \rho^n + D_n \rho^{-n}) \sin(n\phi) \quad (4.4.8)$$

本征函数之间的正交性为

$$\begin{aligned} \int \cos(n\phi) \sin(n\phi) d\phi &= 0 \\ \int \cos(n\phi) \cos(n'\phi) d\phi &= \int \sin(n\phi) \sin(n'\phi) d\phi = 0, \quad n \neq n' \end{aligned} \quad (4.4.8)$$

Tips: 如何求解柱坐标下 Laplace 方程的通解？注意到 Laplace 方程在柱坐标下可以写成

$$\nabla^2 \varphi = \frac{1}{\rho} \frac{\partial}{\partial \rho} \left(\rho \frac{\partial \varphi}{\partial \rho} \right) + \frac{1}{\rho^2} \frac{\partial^2 \varphi}{\partial \phi^2} + \frac{\partial^2 \varphi}{\partial z^2} = 0$$

利用分离变量法，将势函数写成 $\varphi(\rho, \phi, z) = U(\rho)V(\phi)W(z)$ 带入方程分别求解可得。

下面，我们通过几个实例来介绍这种方法。为增强信心，先考虑一个简单的情形

[例 4] 一半径为 R 的接地导体球置于一均匀外场 \vec{E}_0 中，求空间场的分布。

解： 如图所示，取 \vec{E}_0 方向为 z 轴，这是一个绕 z 轴旋转对称的问题。球外空间没有电荷，电势在无穷远处趋向于均匀电场的电势。因此，电势满足

$$\begin{cases} \nabla^2 \varphi = 0 \\ \varphi = 0, & r = R \quad (1) \\ \varphi \rightarrow -E_0 r \cos \theta, & r \rightarrow \infty \quad (2) \end{cases} \quad (4.4.9)$$

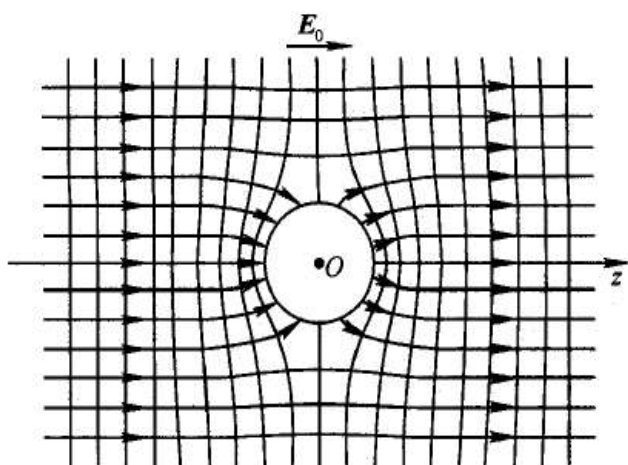


图 4.5

这个问题的通解即为：

$$\varphi = \sum_{l=0}^{\infty} \left(A_l r^l + \frac{B_l}{r^{l+1}} \right) P_l(\cos \theta) \quad (4.4.10)$$

通解中有无穷多常数，虽然看上去很难确定这些常数，其实仔细分析之后发现这些常数均可由问题的边界条件确定。将试解带入边条（2），发现

$$\sum_{l=0}^{\infty} A_l r^l P_l(\cos \theta) \xrightarrow{r \rightarrow \infty} -E_0 r \cos \theta \quad (4.4.11)$$

根据 $P_l(\cos \theta)$ 函数的相互正交性，我们可以分别比较（4.4.11）式左右两边中不同 $P_l(\cos \theta)$ 函数的系数，使得它们相等。因此可得

$$A_1 = -E_0, \quad A_l = 0, \quad l = 0, 2, 3, \dots \quad (4.4.12)$$

再将试解带入边条（1），得到

$$\left(-E_0 R + \frac{B_1}{R^2} \right) \cos \theta + \sum_{l \neq 1}^{\infty} \frac{B_l}{R^{l+1}} P_l(\cos \theta) = 0 \quad (4.4.13)$$

再次利用 $P_l(\cos \theta)$ 函数的相互正交性，不同 $P_l(\cos \theta)$ 的参数应当分别为 0，故

$$B_1 = E_0 R^3, \quad B_l = 0, \quad l = 0, 2, 3, \dots \quad (4.4.14)$$

将（4.4.12）与（4.4.14）代入试解，我们得到最终的结果

$$\varphi = -E_0 r \cos \theta + \frac{E_0 R^3}{r^2} \cos \theta \quad (4.4.15)$$

至此，我们已完成了这个问题的求解。注意到 r^{-2} 依赖关系是偶极子的电势的特征，可将（4.4.15）改为

$$\varphi = -\vec{E}_0 \cdot \vec{r} + \frac{\vec{p} \cdot \vec{r}}{4\pi\epsilon_0 r^3} \quad (4.4.16)$$

其中

$$\vec{p} = 4\pi\epsilon_0 R^3 \vec{E}_0. \quad (4.4.17)$$

我们看到：球外空间中，除了外加的均匀电场的贡献外，还有一个偶极子的电场。由于导体球在电场的作用下正电荷推积在一侧，而负电荷推积在电场的另一侧，因此对外面的作用等效为一个偶极子，其偶极矩正比于外加电场以及球的体积！

讨论：

- (1) 我们可以认为偶极子的场就是这个体系对外场的散射场。外场是均匀电场，其只具有 $l=1$ 的项 ($-E_0 r \cos \theta$)，而同时体系具有良好的对称性，不会将具有 l 角动量的波散射到 l' 项，因此体系的响应也就只有 $l=1$ 项，所以只产生偶极子。若外场不是均匀场，而是具有高 l 的项，则体系的响应也一定具有高 l 项。这恰恰是唯一性定理的一个体现 --- **边条唯一确定解的形式。这里边条的对称性决定了解对称性。**
- (2) 我们之前研究导体球外有点电荷的问题时，曾经考虑过当点电荷离导体球非常远的情形。那时我们的结论是导体球在外场下的电荷分布是形成了一个偶极子。其实当电荷离目标很远时，其电场就是近似为均匀场！将其与现在我们考虑的情况建立一个联系将是非常有意思的事情。

【思考】

为什么这个偶极子的不多不少正好是 $\vec{p} = 4\pi\epsilon_0 R^3 \vec{E}_0$ ？这里有什么物理的原因？

注：人们会问边界条件 $\varphi \rightarrow -E_0 r \cos \theta$, $r \rightarrow \infty$ (2) 为什么不能加上一个常数电势

φ_0 ？若加上的话，这个常数是什么意思？数学上讲，加一个常数电势 φ_0 后的解其实就是让

球上感应出一些净电荷（参考书上的解法），那问题来了：如何确定这个 φ_0 ？其实，无限大

空间均匀电场的问题从来不是一个“well-defined”的问题。因为我们通常取无限远处为电势 0 点，但无限区域中的均匀电场要求无限远处有电荷以及电势不是 0。真正在实验上实现均匀场只能在有限空间，比如用平板电容器，此时问题是 Well-defined，但求解这样一个问题就比现在我们考虑的复杂许多，因为极板会引入无穷多镜像电荷…。因此我们现在考虑的是真实情况的一种理想化，是实验上不能实现的。在我们今后的学习中，我们还要考虑这种理想情形，因为这类问题可以解析求解且给我们许多 Insight。需要说明的是，此时我们总是假设 φ_0 为 0，相当于我们选择了坐标原点为电势 0 点。

进一步做一个更难一些的例子。

[例 5] 半径为 R 、介电常数为 ϵ_2 的均匀介质球，被置于均匀外场 \vec{E}_0 中，球外空间充满均匀介电常数为 ϵ_1 的介质。求空间电势的分布。

解：如图 4.6，取 \vec{E}_0 方向为极轴 z 方向。与上一道例题不同的是，此处**介质球内可以存在电场**。为此我们把空间分为球内球外两个区域（I、II），电势分别为 φ_1 ， φ_2 ，则它们满足的方程：

$$\nabla^2 \varphi_1 = 0, \quad \nabla^2 \varphi_2 = 0 \quad (4.4.18)$$

相应的边条为

$$\begin{cases} \varphi_1 \rightarrow -E_0 r \cos \theta, & r \rightarrow \infty \end{cases} \quad (1)$$

$$\varphi_1 = \varphi_2, \quad r = R \quad (2)$$

$$\begin{cases} \varepsilon_1 \frac{\partial \varphi_1}{\partial r} \Big|_{r=R} = \varepsilon_2 \frac{\partial \varphi_2}{\partial r} \Big|_{r=R} \end{cases} \quad (3)$$

$$\begin{cases} \varphi_2 \text{ 有限}, & r = 0 \end{cases} \quad (4)$$

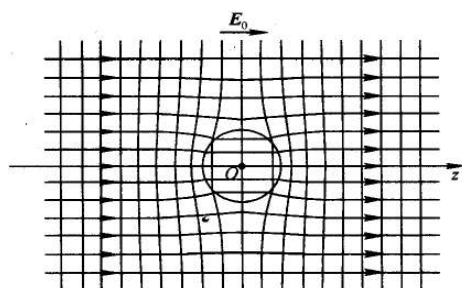


图 4.6

本问题为三维轴对称球坐标系下的问题，因此可选取合适的本征函数将 φ_1, φ_2 展开。显然应当选择（4.4.5），即

$$\varphi_1 = \sum_{l=0}^{\infty} \left[A_l r^l + B_l r^{-(l+1)} \right] P_l(\cos \theta) \quad (4.4.19)$$

$$\varphi_2 = \sum_{l=0}^{\infty} \left[A_l' r^l + B_l' r^{-(l+1)} \right] P_l(\cos \theta)$$

其中 $\{A_l, A_l', B_l, B_l'\}$ 为一系列展开系数，需要由边界条件确定。根据我们上一道例题经验 - 均匀电场的边界条件（1）只包含 $l=1$ 项的贡献，**而球这种良好的几何形状保证了它不会将 $l=1$ 的模式散射到其它 l 的模式上去**。因此物理上思考，（4.4.19）中只有 $l=1$ 项的系数非 0！故有

$$\begin{aligned} \varphi_1 &= (A_1 r + B_1 r^{-2}) \cos \theta \\ \varphi_2 &= (A_1' r + B_1' r^{-2}) \cos \theta \end{aligned} \quad (4.4.19')$$

下面我们利用本征函数的正交性对上述论断做严格证明。

对 I 区来讲, 边条 (1) 决定了除了 A_1 外所有的 $\{A_l\}$ 均为 0。因 $P_1(\cos \theta) = \cos \theta$, 易知:

$$A_1 = -E_0; \quad A_l = 0, \quad l \neq 1 \quad (4.4.20)$$

对 II 区来讲, 边条 (4) 决定了

$$B_l' = 0, \quad l = 0, 1, \dots, \infty \quad (4.4.21)$$

下面考虑边条 (2)。代入可知,

$$\begin{aligned} \sum_{l=0}^{\infty} [A_l R^l + B_l R^{-(l+1)}] P_l(\cos \theta) &= \sum_{l=0}^{\infty} [A_l' R^l + B_l' R^{-(l+1)}] P_l(\cos \theta) \\ \varepsilon_1 \sum_{l=0}^{\infty} [l A_l R^{l-1} - (l+1) B_l R^{-(l+2)}] P_l(\cos \theta) &= \varepsilon_2 \sum_{l=0}^{\infty} [l A_l' R^{l-1} - (l+1) B_l' R^{-(l+2)}] P_l(\cos \theta) \end{aligned} \quad (4.4.22)$$

根据本征函数的正交性, 上面 2 式中每个 1 项的系数必须分别相等, 即

$$\begin{aligned} A_l R^l + B_l R^{-(l+1)} &= A_l' R^l + B_l' R^{-(l+1)} \\ \varepsilon_1 [l A_l R^{l-1} - (l+1) B_l R^{-(l+2)}] &= \varepsilon_2 [l A_l' R^{l-1} - (l+1) B_l' R^{-(l+2)}] \end{aligned} \quad (4.4.23)$$

对所有 $l \neq 1$ 的项, 我们有

$$\left. \begin{aligned} B_l R^{-(l+1)} &= A_l' R^l \\ \varepsilon_1 [-(l+1) B_l R^{-(l+2)}] &= \varepsilon_2 [l A_l' R^{l-1}] \end{aligned} \right\} \Rightarrow \begin{cases} B_l = A_l' R^{(2l+1)} \\ B_l = -A_l' R^{(2l+1)} \frac{l \varepsilon_2}{(l+1) \varepsilon_1} \end{cases} \quad (4.4.24)$$

(4.4.24) 显示这些 $l \neq 1$ 的 B_l, A_l' 系数在时满足不同的比例关系, 显然有:

$$A_l' = B_l = 0, \quad l \neq 1 \quad (4.4.25)$$

因此只有 $l=1$ 的项有非零解。究其本质是我们所设的问题中存在一个非平庸的 $l=1$ 的入射项 $-E_0 r \cos \theta$, 而没有其他 $l \neq 1$ 的入射项!

代入边条 (1) - (4) 分别可得

$$\begin{cases} A_1 = -E_0 \\ A_1 R + B_1 R^{-2} = A_1' R + B_1' R^{-2} \\ \varepsilon_1 (A_1 - 2B_1 R^{-3}) = \varepsilon_2 (A_1' - 2B_1' R^{-3}) \\ B_1' = 0 \end{cases} \quad (4.4.26)$$

解之可得

$$\begin{cases} A_1 = -E_0 \\ B_1 = \frac{\varepsilon_2 - \varepsilon_1}{2\varepsilon_1 + \varepsilon_2} E_0 R^3 \\ A_1' = -\frac{3\varepsilon_1}{2\varepsilon_1 + \varepsilon_2} E_0 \\ B_1' = 0 \end{cases}, \quad (4.4.27)$$

故

$$\begin{aligned}\varphi_1 &= -E_0 r \cos \theta + \frac{\varepsilon_2 - \varepsilon_1}{2\varepsilon_1 + \varepsilon_2} R^3 E_0 \frac{1}{r^2} \cos \theta \\ \varphi_2 &= -\frac{3\varepsilon_1}{2\varepsilon_1 + \varepsilon_2} E_0 r \cos \theta\end{aligned}\quad (4.4.28)$$

为理解这些项的物理，作如下的讨论：

(1) 球面上的束缚电荷就是球对外场的响应来源。其对球外区域的贡献为：

$$\frac{\varepsilon_2 - \varepsilon_1}{2\varepsilon_1 + \varepsilon_2} R^3 E_0 \frac{1}{r^2} \cos \theta。回想一个偶极子（偶极矩为 p ）的电势为 $\varphi_p = \frac{\vec{p} \cdot \vec{r}}{4\pi\varepsilon_0 r^3}$ ，对$$

比发现这些束缚电荷对外场的贡献相当于一个放在原点的偶极子，其大小为

$$\boxed{\vec{p} = 4\pi\varepsilon_0 \frac{\varepsilon_2 - \varepsilon_1}{2\varepsilon_1 + \varepsilon_2} R^3 \vec{E}_0} \quad (4.4.29)$$

要注意：这个结论是严格的，并非在远场成立，这一点是否让你感到很意外？

(2) 球内的场为外场与束缚电荷所产生的附加电场之和，结果为一均匀电场：

$$\vec{E}_{\text{内}} = -\frac{\partial \varphi_2}{\partial z} \hat{e}_z = \frac{3\varepsilon_1}{2\varepsilon_1 + \varepsilon_2} \vec{E}_0 \quad (4.4.30)$$

理解了 (4.4.28) 式中的所有项的物理来源，我们对 (4.4.28) 做极限分析：

(A) 当 $\varepsilon_2 = \varepsilon_1$ 时，介质球与环境的介电常数一样，故其对外场的响应消失。带入发现， $\varphi_1 = \varphi_2 = -E_0 r \cos \theta$ ，即空间的电场就是均匀电场！

(B) 当 $\varepsilon_2 \rightarrow -\infty$ 时，介质球内的场为 $\vec{E}_{\text{内}} \rightarrow 0$ ，其效果相当于一个导体球。而此时， $\vec{p} = 4\pi\varepsilon_0 R^3 \vec{E}_0$ ，也回到上堂课我们求解的导体球的解。其实，这样的一个推论（导体相当于 $\varepsilon_2 \rightarrow -\infty$ 的介质）具有普遍意义，后面我们可以严格证明。

习题：

- (1) 设一个孤立的带电量为 Q 的导体球放置在外电场中，计算空间的电势分布。仿照课件给出所有的推导步骤。
- (2) 翻阅《数学物理方法》，分别在旋转对称的球坐标系及与 z 轴无关的柱坐标系中求解 Laplace 方程，求出所有的本征函数（亦即，(4.4.5)，(4.4.8)）。
- (3) 根据 (4.4.16) 求出金属球上的表面电荷分布，计算这些表面电荷在金属球心处产生的电场。

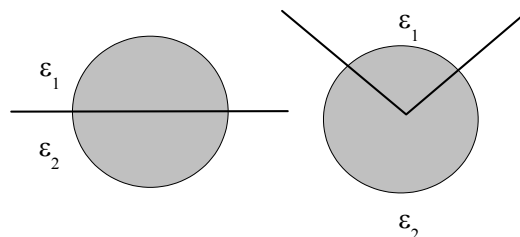
Project（有兴趣的同学选作）

- (1) 自己编一段小程序，根据 (4.4.16) 及 (4.4.28)，画出在两种情形下空间的电势分布（可

以画等势线)，进一步计算出空间电场分布、金属表面电荷分布及介质球表面的极化电荷分布，画在一起，讨论整个问题的图像。

(2) 等电量的正负电荷相距较远时，两电荷连线中点附近的场近似为均匀电场。你能否根据这点特征，利用镜像法计算放置于这个电场中的金属球的静电行为，并将结果与本征函数法解得的结果比较？

(3) 利用本征模式展开法考虑下面两种情形（半径为 R 的金属球放置于非均匀介质中）下电势的分布。可以分几种情形（如导体接地、孤立带 Q 电荷，分界线穿过球心或不穿过球心等）分别计算，证明第三章习题 3.3 答案所提示的解的唯一正确性。可以配合 COMSOL 讨论一般情况下的电场及电势分布。



- (4) 重复课件中关于“高对称体系下均匀场只会引发 $l=1$ 项贡献（即：偶极子）”这个结论的理论证明 (4.4.20) - (4.4.25)。进一步打破这两个前提条件（即高对称体系，均匀场）下看看结论是否依然成立？结合 COMSOL 计算一下证明你的结论。总结一下，谈谈你对这个问题的物理理解。
- (5) 我们可以根据 (4.4.16) 计算出金属球表面的电荷分布（作业），发现其呈现一个偶极分布；进一步根据 (4.4.17) 可以计算出整个金属球的极化强度密度 $\vec{P} = \vec{p} / \Omega$ （ Ω 为金属球的体积），从而根据边界条件 $\sigma = -\vec{n} \cdot (\vec{P}_1 - \vec{P}_2)$ 得到表面电荷分布，你会发现两者一致。从中你进一步可以得到什么？讨论你的结果及图像。